



## СИЛЖИШЛАРНИ ЎЛЧОВЧИ ТУРЛИ ХИЛ ҚЎЗҒАЛУВЧАН ЭЛЕМЕНТЛИ ВА МАГНИТ ЗАНЖИРЛАРИ ОДДИЙ СТРУКТУРАЛИ ДИФФЕРЕНЦИАЛ ТРАНСФОРМАТОР ДАТЧИКЛАР МАТЕМАТИК МОДЕЛЛАРИ

Амиров С.Ф.  
Шарапов Ш.А.

**Аннотация:** Мақолада силжишларни ўлчовчи турли хил қўзғалувчан элементли ва магнит занжирлари оддий структурали бўлган дифференциал трансформатор датчикларнинг ҳосил қилинган математик моделлари таҳлили қўзғалувчан қисми йиғиқ ўлчаш чулғами кўринишида ясалган датчиклар узун ферромагнит стерженлари оралиғидаги магнит сифимларининг погон қиймати магнит занжири бўйлаб гиперболик функция кўринишида ўзгарадиган қилиб ясалганда стерженлардаги қўзғатиш чулғамининг индуктивлиги қўзғалувчан ўлчаш чулғами координатасига боғлиқ бўлмаслиги ва ишчи магнит оқимлари, қўзғатиш чулғамлари билан қўзғалувчан ўлчаш чулғами ўртасидаги ўзаро индуктивликлар ҳамда датчикларнинг чиқиши ЭЮК мутлақо чизиқли қонуният билан ўзгариши аниқланган. Кўзғалувчан элементи экран кўринишида ясалган дифференциал трансформатор датчикларда ишчи магнит оқимлари экран координатасининг ноҳизиқ функцияси эканлиги, қўзғатиш чулғамининг индуктивлиги эса экран координатасига боғлиқ бўлиши кўрсатилган. Кўзғалувчан элементи ферромагнит ўзак кўринишида ясалган дифференциал трансформатор датчикларда эса узун ферромагнит стерженлар орасидаги масофа ушбу стерженлар орасида жойлаштирилган қўзғалувчан ферромагнит ўзак билан стерженлар орасидаги умумий масофадан анча катта ва узун ферромагнит стерженлар орасидаги масофа магнит занжирининг охиридан бошлаб чизиқли ортиб борадиган бўлганда ишчи магнит оқимлари, қўзғатиш чулғамининг индуктивлиги ва ўзаро индуктивлик қўзғалувчан ферромагнит ўзак координатаси қийматига боғлиқ бўлмаслиги, чиқиши сигналининг қиймати эса ферромагнит ўзак координатасининг чизиқли функцияси эканлиги аниқланган.

**Калит сўзлар:** дифференциал трансформатор датчик, дифференциал магнит занжири, қўзғалувчан элемент, чулғам, экран, ферромагнит ўзак, оддий структурали магнит занжири; тарқоқ параметрли занжирлар; магнит юритувчи куч; магнит қаршилиги; магнит сифими, бўйлама ва кўндаланг чулғамлар, магнит оқими; магнит кучланиши; чизиқли тақсимланиш.

Технологик жараёнлар ва ишлаб чиқаришни автоматик бошқариш тизимларида бошқарилаётган обьектлардаги қурилмалар силжишлари тўғрисидаги маълумотларни олишда турли хил русумдаги, хусусан дифференциал трансформатор датчик(ДТД)лар кенг кўламда кўлланилиб келинмоқда [1,2]. Ушбу ДТД лар асосий характеристикаларининг қиёсий таҳлили шуни кўрсатдики, улар ўлчаш диапазонида нисбатан паст сезирликка ва ноҳизиқ ўзгартириш функциясига эга [3,4]. Бу камчиликларга эга бўлган ДТД ларнинг автоматик бошқариш тизимларида кўлланилиши бошқариш жараёнининг сифат кўрсаткичларини пасайишига олиб келади.

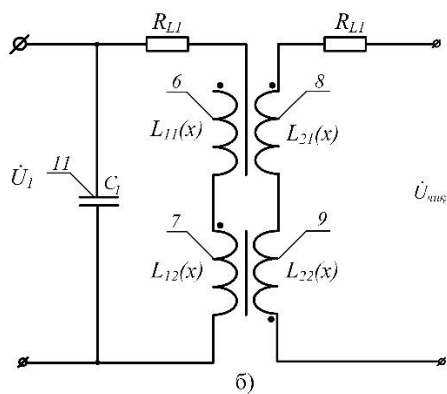
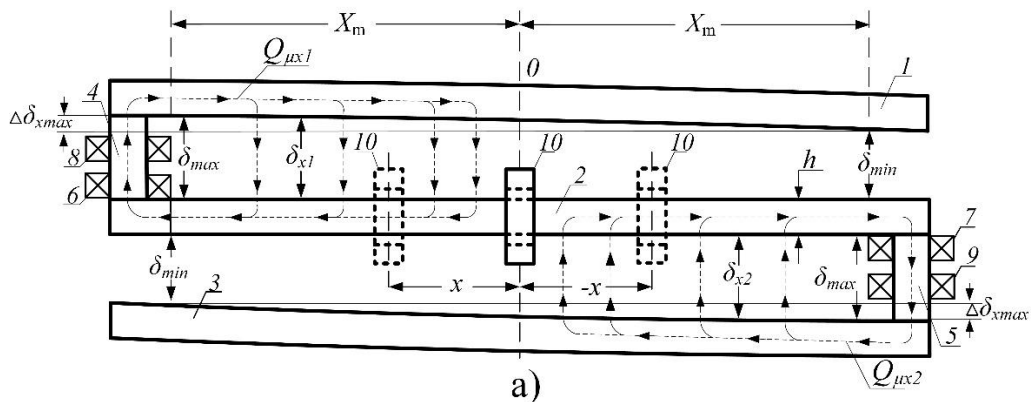
Юқорида қайд этилган камчиликларни бартараф этиш мақсадида Тошкент давлат транспорт университетида силжишни ўлчовчи ДТД нинг янги конструкцияси ишлаб чиқилган (1-расм) [5]. Ушбу ДТД да чет ва ўртада жойлашган узун ферромагнит стерженлар орасидаги иккита ишчи ҳаво оралиқларининг қийматлари занжир узунлиги бўйлаб мос равиша қуидаги қонуниятлар билан ўзгарадиган қилиб ясалган:

$$\delta_{x1} = \delta_{\min} + \frac{1}{\mu h} (X_m + x)^2, \quad (1)$$

$$\delta_{x2} = \delta_{\min} + \frac{1}{\mu h} (X_m - x)^2, \quad (2)$$

бу ерда  $\mu$  – ферромагнит стерженлар магнит материалининг нисбий магнит сингдирувчанлиги бўлиб, магнит занжирининг тегишли геометрик ўлчамлари 1- расм, а да келтирилган.

Янги ДТД ишлаш принципи унинг прототипи [3] ишлаш принципидан фарқ қилмаса-да, янги ДТД да ишчи ҳаво оралиқлари катталиклари магнит занжиригининг узунлиги бўйлаб



1- расм. Силжишларни ўлчовчи сезгирилиги юкори бўлган ДТД: а – конструктив схемаси; б –чулғамлар индуктивликлари ва конденсаторнинг уланиш схемаси: 1,2,3 – узун ферромагнит стерженлар; 4,5 – ферромагнит туташтиргичлар; 6,7 ва 8,9 – мос равишда қўзгатиш ва ўлчаш чулғамлари; 10 – қўзғалувчан элемент (чулғам, экран, ўзак); 11 – конденсатор.

мос равища (1) ва (2) ифодаларга биноан ўзгарадиган қилиб танланганда, қўзғатиш ва ўлчаш чулғамларининг хар биридаги иккала индуктивлик КЭ координатаси ўзгарганда чизиқли қонуният билан ўзгаради, қўзғатиш ва ўлчаш чулғамлари хар биридаги умумий индуктивликлар эса КЭ нинг бутун силжиш диапазонида ўзгартасдан сақланади. Бунинг натижасида эса қўзғатиш занжиридаги резонанс режими КЭ нинг исталган координатасида сақланади (1- расм, б), ДТД нинг статик тавсифи эса чизиқли кўринишда бўлади.

Ушбу мақолада силжишларни ўлчовчи турли хил қўзғалувчан элемент(чулғам, экран ва ферромагнит ўзак)ли магнит занжирлари оддий структурали бўлган ДТД ларнинг математик моделларини янги ишлаб чиқилган ДТД магнит тизими мисолида кўриб чиқамиз (1- расм, а) [5]. Бунда қўзғалувчан элементга эга бўлган тарқоқ параметрли магнит занжирларини ҳисоблашда энг қуай бўлган ва профессор Зарипов М.Ф. томонидан ишлаб чиқилган “Магнит занжирларини маълум бўлакларга ажратиш” усулидан фойдаланамиз [3,6].

Хисоблашларни бирмунча соддалаштириш мақсадида ушбу туркүм занжирларни назарий тадқиқ этишдә одатта қабул қилинадиган қуидаги чекловларни киритамиз [7,8]: 1) магнит занжири чизиқли, яъни занжир ферромагнит материал асосий магнитланиш эгри чизигининг түғри чизиқли қисмида ишлайди; 2) сочилган магнит оқимларини хисоблашларда инобатта олмаймиз; 3) йифик ҳолда жойлаштирилган чулғамлар бўйлама ўлчамларини ҳам хисобга олмаймиз. Бу чекловлар хисоблашлар аниқлигига сезиларли таъсир этмаса-да, аммо занжирлар таҳлилини анча осонлаштиради.

Тадқиқ этилаётган ДМЗ учун координата бошини занжирнинг ўрта кесимидан бошлаш мақсадга мувофиқ бўлади [9]. Бу ҳолат учун  $x_1 = X_m + x$  ва  $x_2 = X_m - x$  деб олинади.

Агар  $C_{\mu\pi x_1=0} = C_{\mu\pi x_2=0} = \mu_0 b / \delta_{\min}$ ,  $Z_{\mu\pi} = 1 / \mu\mu_0 b h$ , ва  $Z_{\mu\tau} = \delta_{\max} / \mu\mu_0 b h$  эканлиги иnobатга олинса, у холда (1.11) қуидаги күринишда ёзилади:

$$C_{\mu\pi x_1} = \mu_0 b / \delta_{x1}, \quad (3)$$

$$C_{\mu\pi x_2} = \mu_0 b / \delta_{x2}, \quad (4)$$

бу ерда  $Z_{\mu T}$ ,  $C_{\mu p x_1}$ ,  $C_{\mu p x_2}$  – мос равища узун ферромагнит стерженлар магнит қаршиликлари ва иккита ёндош стерженлар орасидаги ишчи ҳаво оралиқлари магнит сиғимларининг стерженлар узунлик бирлигига тўғри келадиган погон(солиштирма) қийматлари;  $Z_{\mu T}$  - ферромагнит туташтиргичларнинг магнит қаршилиги;  $\delta_{x1} = \delta_{min} + 1/\mu h (X_m + x)^2$  ва  $\delta_{x2} = \delta_{min} + 1/\mu h (X_m - x)^2$ .

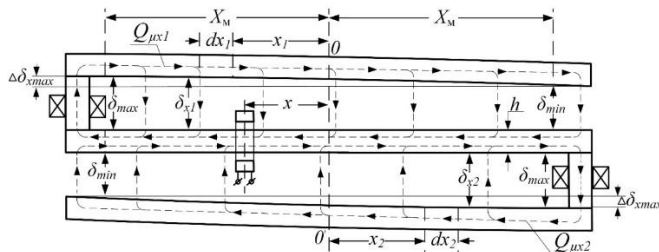
Юқоридаги ифодалардан кўриниб турибдики,  $\delta_{x1}$  ва  $\delta_{x2}$  ларнинг қийматлари магнит занжирининг геометрик ўлчамлари ( $X_m$ ,  $h$  ва  $\delta_{min}$ ) ва магнит параметри( $\mu$ )нинг қийматларига боғлиқ бўлади. Масалан, янги ДТД ясалган тажриба нусхасида  $X_m = 0,05$  м;  $h = 0,005$  м;  $\delta_{min} = 0,01$  м ва  $\mu = 1000$  бўлиб,  $\mu$  нинг қиймати 1512 маркали электротехник пўлат материал учун индукциянинг  $0 \div 0,8$  Т оралиғида ўзгармайди, деб қабул қилиш мумкин бўлади [10]. Юқоридаги қийматлар учун:

$$\delta_{x1} = 0,01 + 0,2(0,05 + x)^2, \quad (5)$$

$$\delta_{x2} = 0,01 + 0,2(0,05 - x)^2. \quad (6)$$

Координата магнит занжири бўйлаб  $-0,05 \leq x \leq 0,05$  оралиқда ўзгарганда  $\delta_{x1}$  и  $\delta_{x2}$  ҳаво оралиқларининг қийматлари мос равища  $0,01 \leq \delta_{x1} \leq 0,012$  ва  $0,012 \leq \delta_{x2} \leq 0,01$  диапазонда ўзгаради, яъни  $\Delta\delta_{xmax} = \delta_{xmax} - \delta_{xmin} = 0,002$  м = 2 мм га, яъни  $\delta_{min}$  нинг 20% га ўзгаради.

1. Кўзғалувчан элементи йиғиқ чулғам кўринишида ясалган ДТД (2- расм). Бу ҳолатда ДТД мос узун ферромагнит стерженлари чет қисмларини ўзаро улаб турувчи



2- расм. Кўзғалувчан элементи йиғиқ чулғамдан иборат бўлган ДТД конструктив схемаси

ферромагнит туташтиргичларда жойлаштирилган ўлчаш чулғамлари бўлмайди. Ушбу магнит занжири учун тегишли стерженлардаги магнит оқимлари мос равища қуидагича ёзилади [5,11]:

$$Q_{\mu x 1} = F_k C_{\mu p 0} (X_m + x) / \Delta_1. \quad (7); \quad Q_{\mu x 2} = F_k C_{\mu p 0} (X_m - x) / \Delta_1. \quad (8)$$

Тадқиқ этилаётган ДТД кўзғатиш чулғамларининг индуктивликлари қуидаги ифодалар кўринишида аниқланади:

$$L_{1k}^{io} = w_1 Q_{\mu x 1} \left|_{x=X_m} \right/ I_1 = L_{1k}^n = w_1 Q_{\mu x 2} \left|_{x=-X_m} \right/ I_1 = w_1^2 2C_{\mu p 0} X_m / \Delta_1 = \text{const.} \quad (9)$$

Кўзғатиш чулғамлари ва ўлчаш чулғами ўртасидаги ўзаро индуктивликлар мос равища қуидагича аниқланади:

$$M_{12}^{io} = w_2 Q_{\mu x 1} \left|_{x_1=X_m+x} \right/ I_1 = w_1 w_2 C_{\mu p 0} (X_m + x) / \Delta_1, \quad (10)$$

$$M_{12}^n = w_2 Q_{\mu x 1} \left|_{x_1=X_m-x} \right/ I_1 = w_1 w_2 C_{\mu p 0} (X_m - x) / \Delta_1. \quad (11)$$

ДТД қўзғалмас ва йиғиқ кўринишида жойлаштирилган қўзғатиш чулғамларида ҳосил бўладиган ўзиндуқция ЭЮК қуидагича топилади:

$$\dot{E}_1 = \dot{E}_{11} + \dot{E}_{12} = -j\omega w_1 \dot{Q}_{\mu x 1} - j\omega w_1 \dot{Q}_{\mu x 2} = -j\omega w_1^2 \dot{I}_1 C_{\mu p 0} 4X_m / \Delta_1 = \text{const.} \quad (12)$$

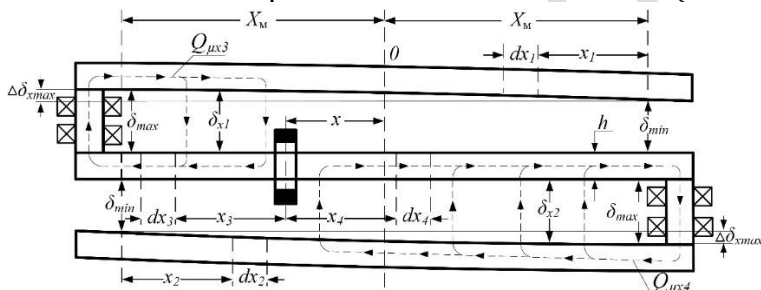
ДТД қўзғалмас ва йиғиқ кўринишида жойлаштирилган қўзғатиш чулғамлари ва қўзғалувчан ўлчаш чулғами ўртасидаги ўзаро индуқция сабабли ўлчаш чулғамида ҳосил бўладиган ўзароиндуқция ЭЮК қуидагича топилади:

$$\dot{E}_2 = \dot{E}_{21} - \dot{E}_{22} = -j\omega w_2 \dot{Q}_{\mu x 1} - j\omega w_2 \dot{Q}_{\mu x 2} = -j\omega w_1 w_2 \dot{I}_1 C_{\mu p 0} x / \Delta_1. \quad (13)$$

Кўзғалувчан қисми йиғиқ жойлаштирилган чулғам кўринишида ясалган оддий структурали ва тарқоқ параметрли магнит занжирига эга бўлган ҳамда силжишни ўлчашга мўлжалланган ДТД учун ҳосил қилинган (7)-(13) математик моделлар таҳлили шуни кўрсатадики, унинг узун ферромагнит стерженлари оралиғидаги магнит сифимларининг погон қиймати магнит занжири бўйлаб (3) ва (4) функциялар кўринишида ўзгариши сабабли ушбу стерженлардаги қўзғалмас ва йиғиқ кўринишида жойлаштирилган қўзғатиш чулғамларининг индуктивликлари, кетма-кет ва индуктив жиҳатдан ўзаро қарама-қарши уланган қўзғалмас чулғамларида ишчи магнит оқимлари ҳосил қиласидиган ўзиндукия ЭЮК қўзғалувчан элемент (чулғам) координатасига боғлиқ бўлмайди ва ДТД нинг бутун ўлчаш диапазонида уларнинг қиймати ўзгармасдан сақланади, ишчи магнит оқимлари, қўзғатиш чулғамлари ва қўзғалувчан ўлчаш чулғами ўртасидаги ўзаро индуктивликлар ҳамда ДТД нинг чиқиши ЭЮК ушбу магнит занжирларини ҳисоблашда қабул қилинган чекловлар доирасида мутлақо чизиқли қонунийт билан ўзгаради.

(9) ифодадан кўриниб турибдики, қўзғатиш чулғамларининг индуктивлиги қўзғалувчан чулғам координатасининг исталган қийматида ҳам ўз қийматини ўзгартирмайди. Бундан келиб чиқадики, ДТД нинг бирламчи электр занжирида ҳосил қилинган  $(L_{1K}^{\mu} + L_{1K}^{\pi}) \cdot C = \text{const}$  резонанс шарти датчикнинг бутун ўлчаш диапазонида сақланади, натижада эса сезгирилиги юкори ва доимий бўлади.

2. Кўзғалувчан элементи электромагнит экран кўринишида ясалган ДТД (3- расм). Ушбу ДМЗ ни ҳисоблашда электромагнит экранни идеал, яъни ўзгарувчан магнит оқими йўлидаги унинг магнит қаршилиги чексиз катта ( $R_{\mu\mu} \rightarrow \infty$ ) (мисдан ясалган ва ўртадаги ферромагнит стерженни ўраб олган ҳалқанинг электр қаршилиги нолга teng), деб қабул қиласиз. [12] ларда ўтказилган назарий ва экспериментал тадқиқотлар саноат частотали ўзгарувчан токда мисдан ясалган электромагнит экран магнит қаршилигини чексиз катта қийматга teng, деб олиш оқибатида ҳисоблашларда юзага келадиган хатолик ( $2 \div 4$  %) дан ошмаслиги таъкидланган.



3- расм. Кўзғалувчан элементи электромагнит экрандан иборат бўлган ДТД конструктив схемаси

Ушбу ДМЗ ни ҳисоблашда, яъни занжирда ҳосил бўладиган магнит оқимлари ва магнит кучланишлари ифодаларини келтириб чиқаришда координата бошини экрандан бошлиб олиш қулагай ҳисобланади [3,8].

Тадқиқ этилаётган ДМЗ нинг факат юкори қисмидаги МЮК манбаидан занжирда ҳосил бўладиган магнит оқими ва магнит кучланиш ифодаларини келтириб чиқаришда

куйидаги tenglamalardan foydalananamiz [11]:

$$U_{\mu x3} = Z_{\mu\mu} A_1 x_3^2 + A_2 x_3 + A_3. \quad (14) \quad C_{\mu\mu x3} = A_1 / (Z_{\mu\mu} A_1 x_3^2 + A_2 x_3 + A_3). \quad (15)$$

$Q_{\mu x3}$  магнит оқимининг қиймати қуйидагича аниқланади:

$$Q_{\mu x3} = U_{\mu x3} / 2Z_{\mu\mu} = A_1 x_3 + A_2. \quad (16)$$

$A_1$ ,  $A_2$  ва  $A_3$  интеграллаш доимийлари қийматларини топишда тадқиқ этилаётган магнит занжири учун ўринли бўлган қуйидаги чегаравий шартлардан фойдалананамиз:

$$Q_{\mu x3=0} = A_2 = 0; \quad U_{\mu x3=x_m-x} = F_k - Q_{\mu x3=x_m-x} \cdot Z_{\mu 0}; \quad C_{\mu\mu x3=0} = C_{\mu\mu x1} = A_1 / A_3. \quad (17)$$

(17) дан  $A_1$ ,  $A_2$  ва  $A_3$  ларни топиб, уларни (14)-(16) ларга қўйиб, қуйидаги якуний ифодаларни ҳосил қиласиз:



$$U_{\mu x3} = \frac{F_k (Z_{\mu 0} C_{\mu px} x_3^2 + 1)}{1 + Z_{\mu 0} C_{\mu px1} X_m + Z_{\mu p} C_{\mu px1} X_m^2}. \quad (18) \quad C_{\mu px3} = \frac{C_{\mu x3=0}}{1 + Z_{\mu 0} C_{\mu x3=0} x_3^2} = \frac{C_{\mu p0}}{1 + Z_{\mu 0} C_{\mu p0} (x_1^2 + x_3^2)}. \quad (19)$$

$$Q_{\mu x3} = \frac{1}{2Z_{\mu p}} U'_{\mu x3} = \frac{F_k C_{\mu px1} x_3}{1 + Z_{\mu 0} C_{\mu px1} X_m + Z_{\mu p} C_{\mu px1} X_m^2} = \frac{F_k C_{\mu p0} (X_m - x)}{1 + Z_{\mu 0} C_{\mu p0} X_m + Z_{\mu p} C_{\mu p0} [X_m^2 \pm (X_m + x)^2]}, \quad (20)$$

бу ерда  $C_{\mu x3=0} \equiv C_{\mu px1} = C_{\mu p0} / (1 + Z_{\mu 0} C_{\mu p0} x_1^2)$ ;  $x_1 = X_m + x$ .

Тадқиқ этилаётган ДМЗ нинг пасть қисмидаги МЮК манбаидан занжирда ҳосил бўладиган магнит оқими ва магнит кучланиш ифодалари ҳам худди юқоридаги тартибда келтириб чиқарилади. Биз қуйида уларнинг якуний ифодаларини келтириш билан чекланамиз:

$$U_{\mu x4} = \frac{F_k (Z_{\mu 0} C_{\mu px2} x_4^2 + 1)}{1 + Z_{\mu 0} C_{\mu px2} X_m + Z_{\mu p} C_{\mu px2} X_m^2}. \quad (21) \quad C_{\mu px4} = \frac{C_{\mu x4=0}}{1 + Z_{\mu 0} C_{\mu x4=0} x_4^2} = \frac{C_{\mu p0}}{1 + Z_{\mu 0} C_{\mu p0} (x_2^2 + x_4^2)}. \quad (22)$$

$$Q_{\mu x4} = \frac{1}{2Z_{\mu p}} U'_{\mu x4} = \frac{F_k C_{\mu px2} x_4}{1 + Z_{\mu 0} C_{\mu px2} X_m + Z_{\mu p} C_{\mu px2} X_m^2} = \frac{F_k C_{\mu p0} (X_m + x)}{1 + Z_{\mu 0} C_{\mu p0} X_m + Z_{\mu p} C_{\mu p0} [X_m^2 \pm (X_m - x)^2]}, \quad (23)$$

бу ерда  $C_{\mu x4=0} \equiv C_{\mu px2} = C_{\mu p0} / (1 + Z_{\mu 0} C_{\mu p0} x_2^2)$ ;  $x_2 = X_m - x$ .

Тадқиқ этилаётган ДТД қўзғатиш чулғамларининг индуктивликлари ҳамда қўзғатиш ва ўлчаш чулғамлари ўртасидаги ўзаро индуктивликлар мос равишида қуйидагича аниқланади:

$$L_{1kx}^{\text{ю}} = \frac{w_1 Q_{\mu x3}}{I_1} = \underline{w}_1^2 \frac{C_{\mu p0} (X_m - x)}{1 + Z_{\mu 0} C_{\mu p0} X_m + Z_{\mu p} C_{\mu p0} [X_m^2 \pm (X_m + x)^2]}, \quad (24)$$

$$L_{1kx}^{\text{п}} = \frac{w_1 Q_{\mu x4}}{I_1} = \underline{w}_1^2 \frac{C_{\mu p0} (X_m + x)}{1 + Z_{\mu 0} C_{\mu p0} X_m + Z_{\mu p} C_{\mu p0} [X_m^2 \pm (X_m - x)^2]}, \quad (25)$$

$$M_{12x}^{\text{ю}} = \frac{w_2 Q_{\mu x3}}{I_1} = \underline{w}_1 \underline{w}_2 \frac{C_{\mu p0} (X_m - x)}{1 + Z_{\mu 0} C_{\mu p0} X_m + Z_{\mu p} C_{\mu p0} [X_m^2 \pm (X_m + x)^2]}, \quad (26)$$

$$M_{12x}^{\text{п}} = \frac{w_2 Q_{\mu x4}}{I_1} = \underline{w}_1 \underline{w}_2 \frac{C_{\mu p0} (X_m + x)}{1 + Z_{\mu 0} C_{\mu p0} X_m + Z_{\mu p} C_{\mu p0} [X_m^2 \pm (X_m - x)^2]}. \quad (27)$$

ДТД қўзғатиш чулғамларида ҳосил бўладиган ўзиндукция ЭЮК ва ўлчаш чулғамларидаги ўзароиндукция ЭЮК мос равишида қуйидагича топилади:

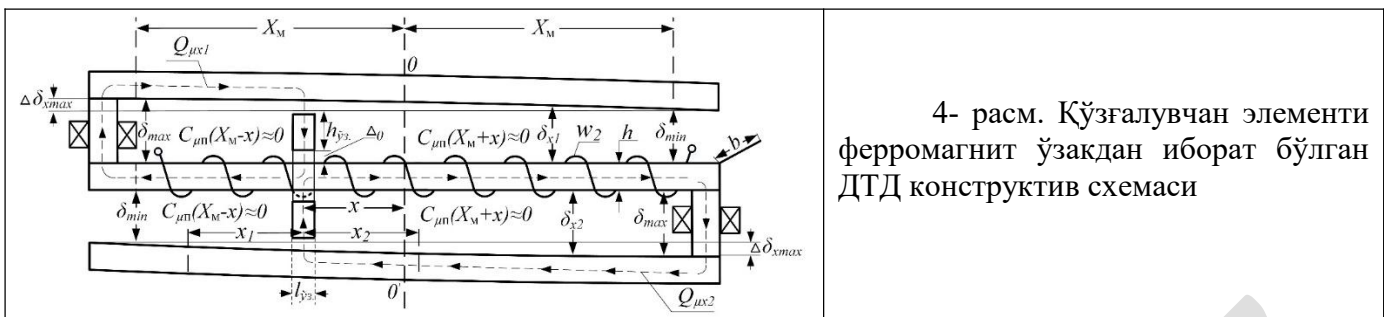
$$\dot{E}_1 = -j\omega w_1 (\dot{Q}_{\mu x3=X_m-x} - \dot{Q}_{\mu x4=X_m+x}), \quad (28) \quad \dot{E}_2 = -j\omega w_2 (\dot{Q}_{\mu x3=X_m-x} + \dot{Q}_{\mu x4=X_m+x}). \quad (29)$$

Ҳосил қилинган (20) ва (23) ҳамда (24) ва (25) функциялар таҳлили шуни кўрсатадики, қўзғалувчан элементи электромагнит экран кўринишида ясалган янги ДТД да ишчи магнит оқимлари экран координатасининг ночизиқ функцияси ҳисобланади, қўзғатиш чулғамларининг умумий индуктивлиги эса экран координатасига боғлиқ равишида ўлчаш диапазонида ўз қийматини ўзгартиради. Бунинг оқибатида ДТД нинг резонансга созланган бирламчи занжирида экран координатасига боғлиқ равишида резонанс режимидан оғиши ҳолатлари кузатилади.

2. Қўзғалувчан элементи ферромагнит ўзак кўринишида ясалган ДТД (4- расм). Бу ҳолатда агар иккита ёндош узун ферромагнит стерженлар орасидаги масофа  $\delta_x$  ушбу стерженлар орасида жойлаштирилган қўзғалувчан ферромагнит ўзак билан стерженлар орасидаги умумий масофа  $\Delta_{x,um}$ . дан анча катта, масалан,  $\delta_x > 10\Delta_{x,um}$ . бўлса, у ҳолда тезкор муҳандислик ҳисобларида қўзғалувчан ферромагнит ўзакдан ўнгда ва ундан чапда  $\delta_x$  ҳаво оралиғи орқали бирлашаётган магнит оқимларини инобатга олмаслик мумкин бўлади [4].

Агар юқорида қабул қилинган чеклов инобатга олинса, у ҳолда тадқиқ этилаётган ДМЗ нинг юқори ярмидаги ишчи магнит оқими учун қуйидаги ифодани ёзишимиз мумкин бўлади:

$$Q_{\mu x1} = F_k / Z_{\mu \Sigma x_1} = F_k / (Z_{\mu 0} + 2Z_{\mu p} x_1 + Z_{\mu \vartheta z} + Z_{\mu \Delta x_1}), \quad (30)$$



4- расм. Құзғалувчан элементи ферромагнит үзакдан иборат бўлган ДТД конструктив схемаси

бу ерда  $Z_{\mu 0} = \delta_{max}/\mu_0 bh$  - магнит занжирининг қўзғатувчи чулғам ўралган қисми магнит қаршилиги;  $Z_{\mu p} = 1/\mu_0 bh$  - узун ферромагнит стерженлар магнит қаршиликларининг занжир узунлик бирлигига тўғри келадиган погон қиймати;  $Z_{\mu yz} = \frac{h_{yz}}{\mu_0 b_{yz} l_{yz}}$ ;  $Z_{\mu \Delta x_1} = \frac{\Delta x_1}{\mu_0 b_{yz} l_{yz}}$  - узун ферромагнит стерженлар билан қўзғалувчан ферромагнит үзак ўртасидаги оралиқ  $\Delta_x$  нинг магнит қаршилиги. Ҳисоблашларда  $b = b_{yz}$ , деб олинган.

(30) тенгламанинг таҳлили шуни кўрсатадики,  $x_1$  координатанинг исталган қийматида  $Q_{\mu x_1} = \text{const}$  шарт бажарилиши учун қуидаги шарт бажарилиши керак бўлади:

$$Z_{\mu \Sigma x_1} = \text{const} \text{ ёки } (Z_{\mu \Sigma})' = 0. \quad (31)$$

Сўнгги шартдан қуидаги тенгламани ҳосил қиласиз:

$$(\Delta_{x_1})' = l_{yz}/\mu h \quad (32)$$

(32) тенгламани интеграллаб, қуидаги ифодани ҳосил қиласиз:

$$\Delta_{x_1} = [l_{yz}/(\mu h)] x_1 + A. \quad (33)$$

Интеграллаш доимийси  $A$  ни  $\Delta_{x_1=0} = \Delta_0$  чегаравий шартдан топамиз ва у  $A = \Delta_0$  га teng бўлади.

(33) тенгламага  $A = \Delta_0$  ни қўйиб, қуидаги ифодани ҳосил қиласиз:

$$\Delta_{x_1} = \Delta_0 + [l_{yz}/(\mu h)] x_1. \quad (34)$$

Ҳосил қилинган (34) ифодани (30) га қўйиб, ишчи магнит оқими учун қуидаги ифодани ҳосил қиласиз:

$$Q_{\mu x_1} = \frac{F_k}{Z_{\mu \Sigma}} = \frac{F_k}{\frac{\delta_{max}}{\mu_0 bh} + \frac{2X_m}{\mu_0 bh} + \frac{\Delta_0}{\mu_0 bl_{yz}}} = \text{const}. \quad (35)$$

Келтириб чиқарилган (34) ва (35) ифодалар таҳлили шуни кўрсатадики, агар иккита узун ферромагнит стерженлар билан улар оралиғида жойлаштирилган қўзғалувчан ферромагнит үзак ўртасидаги оралиқ масофа  $\Delta_x$  нинг қиймати  $x_1$  координата боши деб олинган магнит занжирининг охиридан бошлаб (34) асосида чизиқли ортиб борса, у ҳолда қабул қилинган чекловлар доирасида узун ферромагнит стерженлардаги ишчи магнит оқимининг қиймати қўзғалувчан ферромагнит үзак координатаси  $x_1$  қийматига боғлиқ бўлмайди.

Тадқиқ этилаётган ДТД юқори ярмидаги қўзғатиш чулғамишининг индуктивлиги ва ушбу чулғам билан узун ферромагнит стерженда бир текис тарқоқ кўринишида ўралган ўлчаш чулғами ўртасидаги ўзаро индуктивлик қуидаги ифодалар ёрдамида топилади:

$$L_{1k}^{10} = w_1^2/Z_{\mu \Sigma} = \text{const}. \quad (36)$$

$$M_{12}^{10} = w_1 w_{2n} (X_m - x)/Z_{\mu \Sigma}, \quad (37)$$

ТД юқори ярмининг чиқиши сигнали, яъни йиғиқ жойлашган қўзғатиш чулғами билан узун ферромагнит стерженда бир текис тарқоқ кўринишида ўралган ўлчаш чулғами ўртасидаги ўзаро индукция ЭЮК  $x_1 = X_m - x$  эканлигини эътиборга олган ҳолда қуидаги ифода орқали аниқланади:

$$\dot{E}_{21} = -j\omega w_{2n} (X_m - x) \dot{Q}_{\mu x}, \quad (38)$$



бу ерда  $w_{2n}$  – бир текис тарқоқ үралган ўлчаш чулғамининг магнит занжири узунлик бирлигига тұғри келадиган погон қиймати.

Тадқиқ этилаёттан ДТД пастки ярми учун құзғатиши чулғамининг индуктивлиги, ўзаро индуктивлик ва чиқиши сигналы ифодалари хам худди юқорида келтирилген тартибда ҳосил қилинади. Биз бу ерда уларнинг якуний ифодаларини келтириш билан чекланамиз:

$$L_{1k}^n = w_1^2 / Z_{\mu\Sigma} = \text{const.} \quad (39)$$

$$M_{12}^n = w_1 w_{2n} (X_m + x) / Z_{\mu\Sigma}, \quad (40)$$

$$\dot{E}_{22} = -j\omega w_{2n} (X_m + x) \dot{Q}_{\mu x}. \quad (41)$$

ДТД құзғатиши чулғамларининг умумий индуктивлиги ва улар билан ўлчаш чулғами ўртасидаги умумий ўзаро индуктивлик қуйидаги ифодалар орқали аниқланади:

$$L_{1k} = 2w_1^2 / Z_{\mu\Sigma} = \text{const.} \quad (42)$$

$$M_{12} = 2w_1 w_{2n} X_m / Z_{\mu\Sigma}, \quad (43)$$

Күзғалувчан қисми ферромагнит ўзакдан иборат бўлган ДТД чиқиши сигналининг натижавий қиймати қуйидаги ифода асосида аниқланади:

$$\dot{E}_2 = \dot{E}_{22} - \dot{E}_{21} = -j\omega w_{2n} \dot{Q}_{\mu x} 2x. \quad (44)$$

(35)-(44) ифодалардан кўриниб турибдик, иккита узун ферромагнит стерженлар билан улар оралиғида жойлаштирилган кўзғалувчан ферромагнит ўзак ўртасидаги оралиқ масофа  $\Delta_x$  нинг қиймати  $x_1$  координата боши деб олинган магнит занжирининг охиридан бошлаб (34) асосида чизиқли ортиб борадиган ДТД да ишчи магнит оқимлари, құзғатиши чулғами индуктивлиги ва ўзаро индуктивлик магнит занжирини ҳисоблашда қабул қилинган чекловлар доирасида кўзғалувчан ферромагнит ўзак координатаси қийматига боғлиқ бўлмайди, чиқиши сигналининг натижавий қиймати эса ферромагнит ўзак координатасининг чизиқли функцияси ҳисобланади.

Шундай қилиб, силжишларни ўлчовчи турли хил қўзғалувчан элементли ва магнит занжирлари оддий структурали бўлган ДТД ларнинг ҳосил қилинган математик моделлари таҳлили шуни кўрсатадики, кўзғалувчан қисми йиғиқ ўлчаш чулғами кўринишида ясалган ДТД лар узун ферромагнит стерженлари оралиғидаги магнит сифимларининг погон қиймати магнит занжирни бўйлаб (3) ва (4) функциялар кўринишида ўзгариши сабабли ушбу стерженлардаги қўзғалмас ва йиғиқ кўринишида жойлаштирилган құзғатиши чулғамларининг индуктивликлари, кетма-кет ва индуктив жиҳатдан ўзаро қарама-қарши уланган қўзғалмас чулғамларида ишчи магнит оқимлари ҳосил қиласидаги ўзиндукация ЭЮК қўзғалувчан элемент (чулғам) координатасига боғлиқ бўлмайди ва ДТД нинг бутун ўлчаш диапазонида уларнинг қиймати ўзгармасдан сақланади, ишчи магнит оқимлари, құзғатиши чулғамлари билан қўзғалувчан ўлчаш чулғами ўртасидаги ўзаро индуктивликлар ҳамда ДТД нинг чиқиши ЭЮК ушбу магнит занжирларини ҳисоблашда қабул қилинган чекловлар доирасида мутлақо чизиқли қонуният билан ўзгаради.

Кўзғалувчан элементи электромагнит экран кўринишида ясалган ДТД ларда ишчи магнит оқимлари экран координатасининг ночилик функцияси ҳисобланади, құзғатиши чулғамларининг умумий индуктивлиги эса экран координатасига боғлиқ равишда ўлчаш диапазонида ўз қийматини ўзгартиради, қўзғалувчан элементи ферромагнит ўзак кўринишида ясалган ДТД ларда узун ферромагнит стерженлар орасидаги масофа  $\delta_x$  ушбу стерженлар орасида жойлаштирилган қўзғалувчан ферромагнит ўзак билан стерженлар орасидаги умумий масофа  $\Delta_{x,y}$  дан анча катта ва  $\Delta_x$  магнит занжирининг охиридан бошлаб чизиқли ортиб борадиган бўлгандағина ишчи магнит оқимлари, құзғатиши чулғамининг индуктивлиги ва ўзаро индуктивлик магнит занжирини ҳисоблашда қабул қилинган чекловлар доирасида қўзғалувчан ферромагнит ўзак координатаси қийматига боғлиқ бўлмайди, чиқиши сигналининг натижавий қиймати эса ферромагнит ўзак координатасининг чизиқли функцияси ҳисобланади.

Юқорида келтирилган холосалардан келиб чиқадики, құзғатиши чулғами индуктивлигини қўзғалувчан элемент координатасига боғлиқсизлиги, ишчи магнит оқимларининг магнит занжирни



уузунлиги бўйлаб қатъий равища чизиқли тақсимланиши ва қўзғалувчан элементи массасининг кичиклиги қўзғалувчан элементи йифиқ ўлчаш чулғами кўринишида ясалган оддий структурали ДТД ларда таъминланади.

**Адабиётлар:**

1. Агейкин Д.И., Костина Е.Н., Кузнецова Н.Н. Датчики контроля и регулирования: справочные материалы / 2-е изд., перераб. и доп. — Москва: Машиностроение, 1965. — 928 с.
2. Юсупбеков Н.Р., Игамбердиев Х.З., Маликов А.В. Основы автоматизации технологических процессов: Учебное пособие для высшего и среднего специального образования. В 2-х ч. – Ташкент: ТГТУ, 2007. ч.1, 2. – 152 с., 173 с.
3. Зарипов М.Ф. Преобразователи с распределенными параметрами для автотоматики и информационно-измерительной техники. Москва, Энергия, 1969, 177с.
4. Magnitlovchi chulg‘amlari bo‘ylama tarqoq joylashgan differensial magnit zanjirlarining matematik modellari/. – Eurasian Journal Of Academic Research, Volume 3 Issue 2, Part 2 February 2023 p 129-137.
5. Патент РУз (UZ) № IAP 07234. Трансформаторный датчик больших линейных перемещений повышенной чувствительности / Амиров С.Ф., Шарапов Ш.А., Суллиев А.Х., Болтаев О.Т., Каримов И.А.//Официальный вестник – 2022. – №4.
6. Амиров С.Ф., Суллиев А.Х., Балгаев Н.Е. Краткий обзор методов расчета магнитных цепей с распределенными параметрами// Журнал ТашГТУ «Проблемы энерго- и ресурсосбережения» – Ташкент, 2010.– №1/2 – С. 195-202.
7. Конюхов Н.Е., Медников Ф.М., Нечаевский М.Л. Электромагнитные датчики механических величин. – Москва: Машиностроение, 1987. – 256 с.
8. Абдуллаев Я.Р. Теория магнитных систем с электромагнитными экранами. Москва, «Наука», 2002, 288 с.
9. Зарипов М.Ф., Ураксеев М.А. Расчет электромеханических счетно-решающих преобразователей. Москва, «Наука», 1976. – 103 с.
10. Атабеков Г.И. Теоретические основы электротехники. Линейные электрические цепи: Учебное пособие. 7-е изд., стер. – Санкт-Петербург: Издательство «Лань», 2009. – 592 с.
11. Амиров С.Ф., Шарапов Ш.А. Исследование электромагнитных цепей трансформаторных датчиков больших линейных перемещений повышенной чувствительности // Кимёвий технология. Назорат ва бошқарув. – Тошкент, 2023. – №6. – С.50-54.
12. Mathematical Models of Differential Transformer Sensors Tuned to the Excitation Winding Resonance - INTERNATIONAL JOURNAL OF HUMAN COMPUTING STUDIES Volume: 05 Issue: 02 Feb 2023 pp. 38-44.